

## 5. SENZORI UBRZANJA I VIBRACIJA

### 5.1. Merne promenljive i merni principi

- Senzori ubrzanja pogodni su za primenu kod sistema:

➤ Kontrole detonativnog sagorevanja

➤ Zaštite putnika

- *vazdušni jastuci, zatezači pojaseva.*
- *aktivni sistemi za zaštitu pri prevrtanju vozila*
- *inercioni zatezači pojaseva*

➤ ABS, ESP, HHC (HDC)

➤ Kontrole šasije i oslanjanja

➤ Alarmne zaštite

- Svi senzori ubrzanja zasnivaju se na drugom Njutnovom zakonu, po kome je ubrzanje **a**, koje telo mase **m** ostvaruje, direktno srazmerno sili **F** koja na telo deluje, a obrnuto srazmerno masi tela **m**.

$$F = m \cdot a$$

## Merne promenljive i merni principi

## 1 Measuring range of acceleration sensors

## Applications

## Measuring range

Knock control	40 g
Passenger protection	
- Airbag, seat-belt pretensioner	35 to 100 g
- Side impact, front sensing	100 to 400 g
- Roll-over detection	3 to 7 g
ESP, HHC, ABS	0.8 to 1.8 g
Chassis and suspension control	
- Design	1 g
- Axle/damper	10 to 20 g
Car alarm	1 g

Izmerena promenljiva je ubrzanje **a**, koja se često navodi kao višekratnik gravitacionog ubrzanja **g** ( $1\ g \approx 9,81\ m/s^2$ ).

Table 1

**g** Acceleration due to gravity  
 $1\ g \approx 9.81\ m/s^2$

HHC Hill hold control

ABS Antilock brake system

ESP Electronic stability program

## Merne promenljive i merni principi

1 Displacement or travel-measuring acceleration sensors

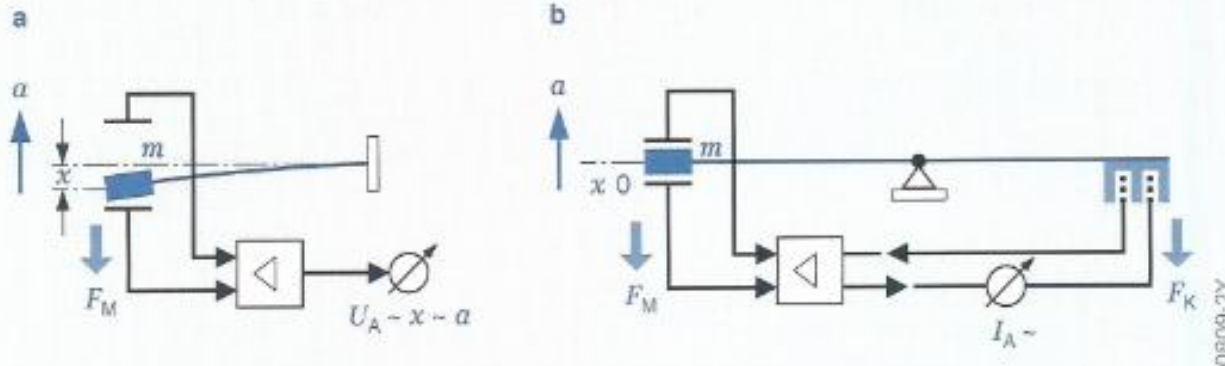


Fig. 1

Schematic:

- a Excursion-measuring
- b Closed-loop position controlled
- a* Measured acceleration
- x* System excursion
- $F_M$  Measuring force (inertial force on the mass  $m$ )
- $F_K$  Compensating force
- $I_A$  Output current
- $U_A$  Output voltage

SAE0809-2Y

- Kao i u slučaju merenja sile, koriste se pozicioni sistemi i mehanički merni sistemi naprezanja.
- Pozicioni merni sistemi koriste kompenzacioni metod u kojem pobudni sistem izložen ubrzanju biva kompenzovan ekvivalentom silom, tako da sistem praktično uvek ostaje u blizini nulte tačke, koju karakteriše visoka linearnost, minimalna poprečna osetljivost i visoka temperaturna stabilnost.
- U cilju kompenzacije gravitacionog ubrzanja, svi senzori ubrzanja karakterišu se opružnom koncepcijom, pri čemu je inerciona masa elastično spojena sa telom čije se ubrzanje meri.
- To znači da je u stanju statičke ravnoteže, sila ubrzanja jednaka sili opruge, koja je istegnuta za dužinu  $x$ .

## Merne promenljive i merni principi

$$(1) \quad F = m \cdot a$$

$$(2) \quad F = m \cdot a = c \cdot x$$

$$(3) \quad S = x/a = m/c$$

$$(4) \quad F = m \cdot a = c \cdot x + p \cdot \dot{x} + m \cdot \ddot{x}$$

$$(5) \quad \omega_0 = \sqrt{\frac{c}{m}}$$

$$(6) \quad \omega_0^2 \cdot S = 1$$

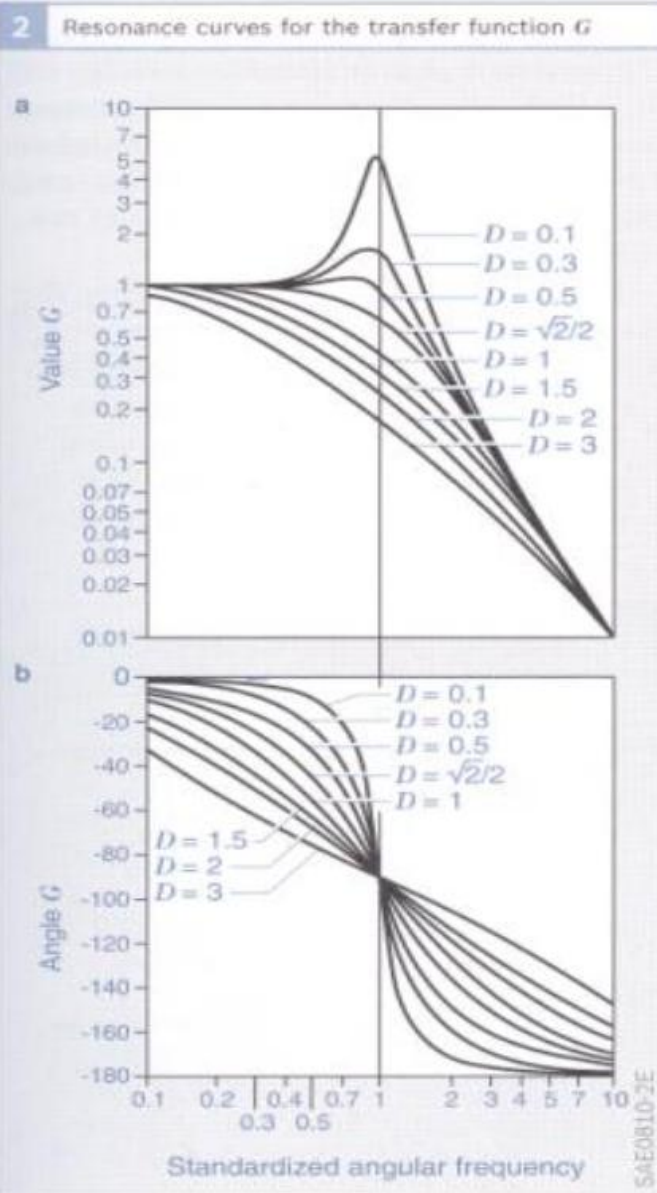
$$(7) \quad D = \frac{p}{2 \cdot c} \cdot \omega_0 = \frac{p}{2 \cdot \sqrt{c \cdot m}}$$

## Merne promenljive i merni principi

## 2 Measuring principles

Electrical pick-off	Principle	Technical implementation	Examples of application
Piezoresistive	Stress measurement via the change in resistance as a result of elongation caused by acceleration on the spring-mass system	Silicon volume micromechanics, thin-layer systems	Laboratory applications, previously also crash sensors
Piezoelectric	Charge shifts in the crystal as a result of the force applied (spring-mass system)	Ceramic material, PZT, quartz, PVDF	Knock sensors, previously also crash sensors
Capacitive	Excursion of the spring-mass system is determined through capacitance measurement of a plate capacitor	Silicon volume micromechanics, surface micromechanics	Used throughout the motor vehicle
Thermal	Lateral excursion of a heated gas zone and detection of the asymmetry with respect to the heated zone	Volume micromechanics	Rollover sensing

## Merne promenljive i merni principi



- Ukoliko se zanemari trenje ( $p \approx 0$ ), rezonantna frekvencija sistema iznosi prema relaciji (5).
- Prema jednačinama (3) i (5), moguće je uspostaviti relaciju (6), na osnovu koje se može zaključiti da u području rada sistema ispod rezonantne frekvencije, za slučaj kada se rezonantna frekvencija dvostruko poveća, merna osetljivost biva smanjena četri puta.
- Faktor prigušenja  $D$  definisan je jednačinom (7).
- U cilju dobijanja što šireg frekvencijskog područja rada, kompromisno rešenje postiže se za vrednosti faktora prigušenja u opsegu  $D = 0,5 – 0,7$ .

## Sistemi za merenje mehaničkog naprezanja

3

Types of piezoelectric effects

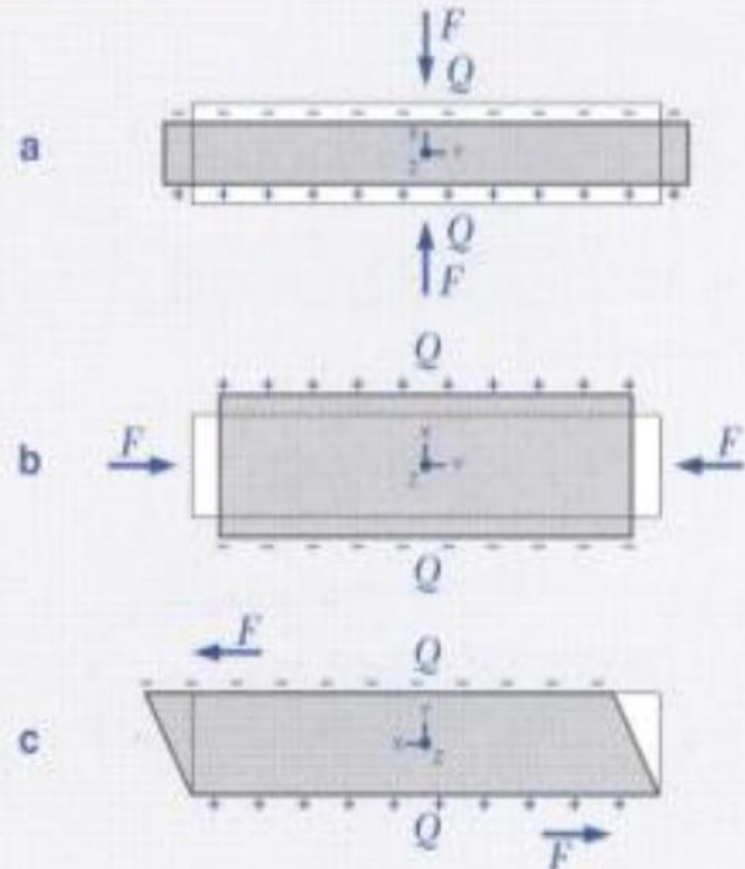


Fig. 3

- a Longitudinal effect
  - b Transverse effect
  - c Tangential force
- $F$  Force  
 $Q$  Charge

SAE0912-IV

Pijezoelektrični senzori se koriste u motornom vozilu u senzorima ubrzanja i senzorima ugaone brzine skretanja.

### Princip uzdužnog efekta

Pod dejstvom sile  $F$ , pijezoelektrični materijali generišu nanelektrisanje  $Q$  na njihovim površinama na koje su pričvršćene elektrode (slika 3). Ovo nanelektrisanje je proporcionalno mehaničkom naprezanju izazvano silom  $F$ .

### Poprečni efekat i efekat smicanja

## Sistemi za merenje mehaničkog naprezanja

4

### Piezoelectric bimorph

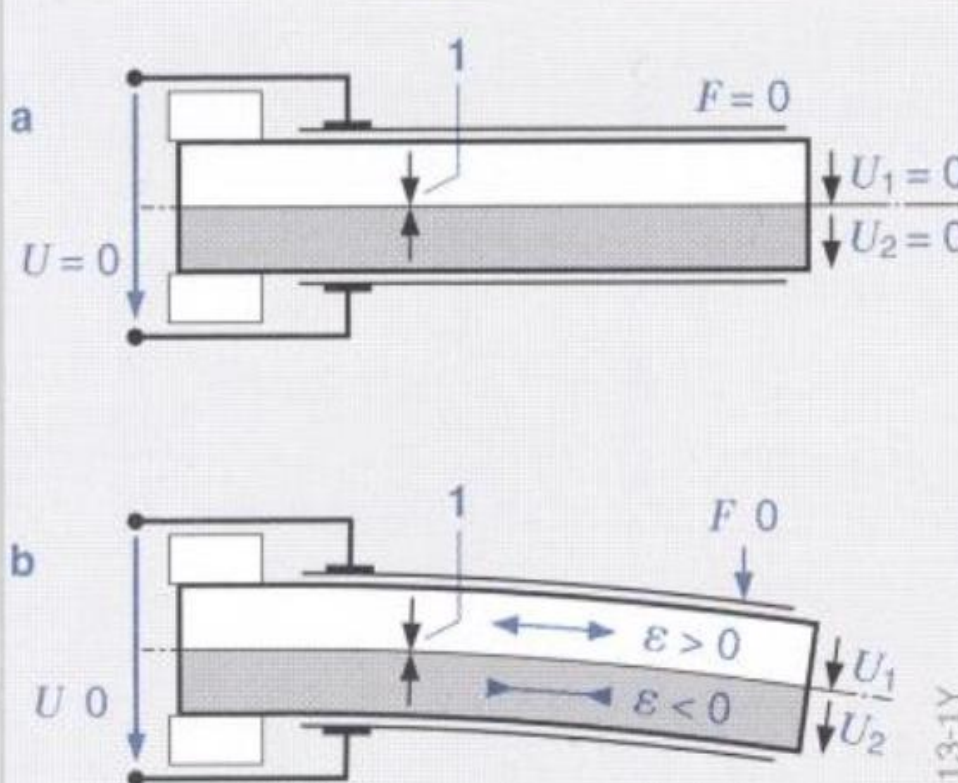


Fig. 4

- a Non-active state
- b When bent,  
stretched on top  
( $\varepsilon > 0$ )  
compressed below  
( $\varepsilon < 0$ )
- 1 Direction of polarization
- $F$  Measuring force
- $U$  Total voltage
- $U_1, U_2$  Part voltages

Poprečni efekat se koristi na primer u **bimorfu**.

One se sastoje od dve suprotno polarizovane pijezokeramike iskorišćene za merenje mehaničkih naprezanja.

## 5

## Pick-off on piezoelectric sensors

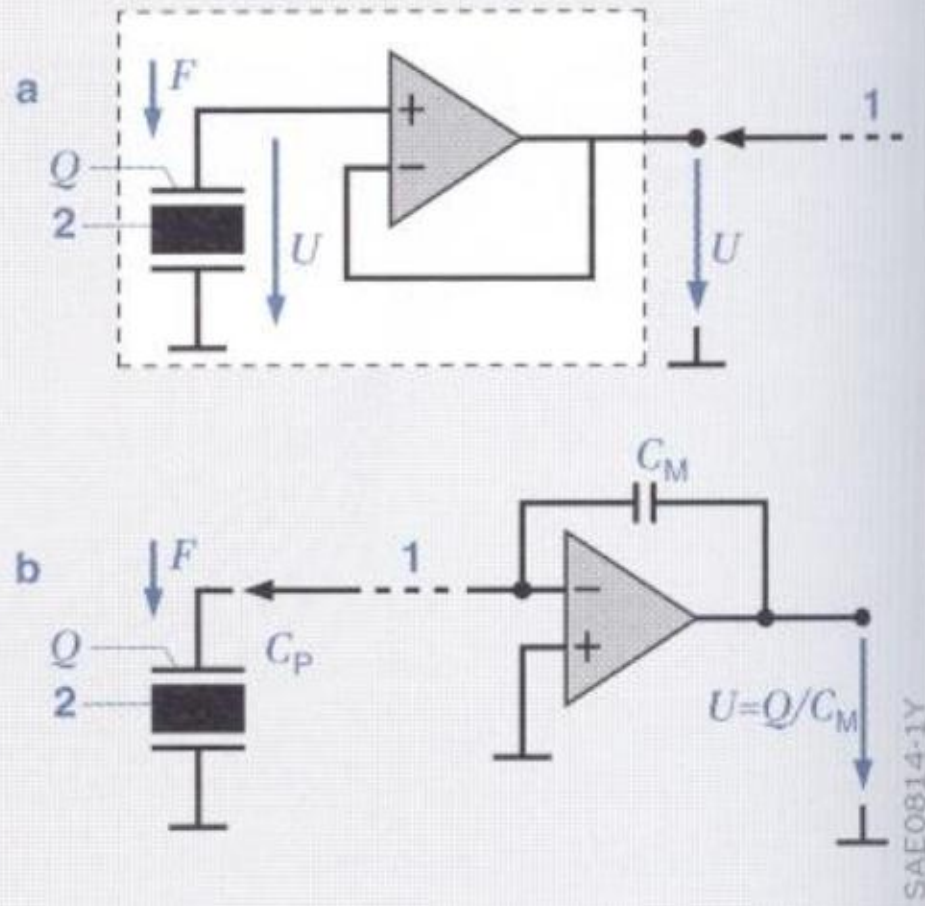


Fig. 5

- a Voltage pick-off
- b Charge pick-off
- 1 Supply lead
- 2 Piezoelectric specimen with capacitance  $C_P$
- $C_M$  Measuring capacity
- $F$  Measuring force
- $Q$  Charge
- $U$  Voltage

## Termički senzor ubrzanja

6 Principle of thermal acceleration sensors

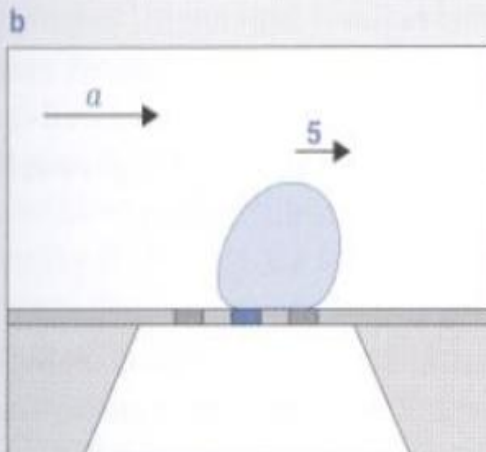
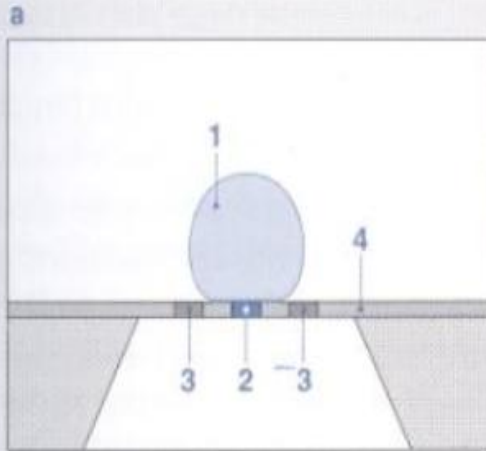


Fig. 6

- a Acceleration  $a = 0$
- b Acceleration  $a > 0$
- 1 Heated gas zone
- 2 Heater element
- 3 Temperature sensor
- 4 Substrate coating
- 5 Displaced heated zone

- Termički senzor ubrzanja pomoću grejača generiše "balon ugrejanog gasa".
- Taj mali tesni ugrejani prostor gase ima veću gustinu od okolnog, hladnijeg gase.
- U slučaju bočnog ubrzanja, oblast veće gustine gase se pomera unutar okolnog, hladnijeg gase.
- Asimetrija koja usledi detektuju termoelementi ili otpornici u mosnom kolu.
- Napon mosta predstavlja signal ubrzanja.

## Pijezoelektrični senzor detonacije

2 Knock sensor (design and mounting)

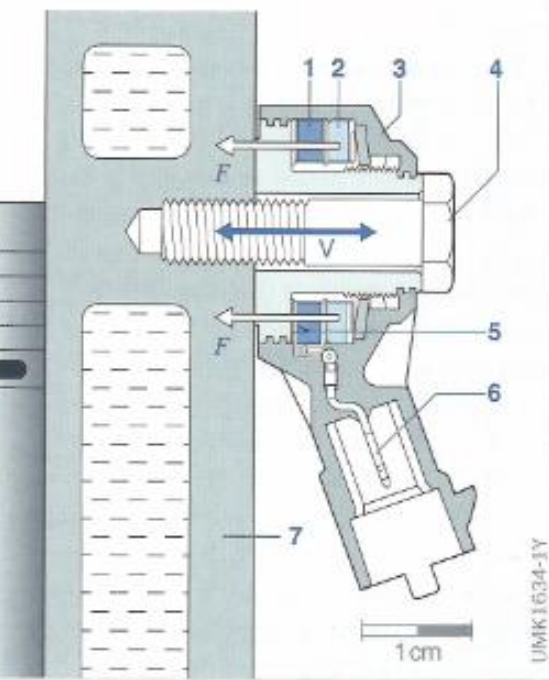


Fig. 2

- 1 Piezoceramic element
- 2 Seismic mass with compressive forces  $F$
- 3 Housing
- 4 Bolt
- 5 Contact washer
- 6 Electric connection
- 7 Engine block
- V Vibration

1 Knock-sensor signals (oscilloscope display)

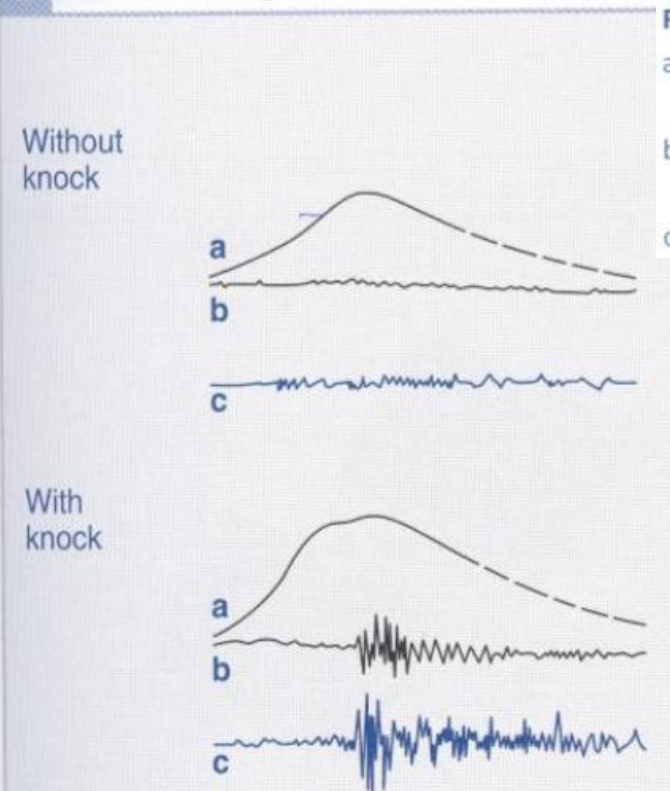


Fig. 1

- a Cylinder-pressure characteristic curve
- b Filtered pressure signal
- c Knock-sensor signal

Primenjuje se:

- na oto motorima za utvrđivanje detonativnog sagorevanja u cilindru, koje nastaje kao posledica nekontrolisanog paljenja smeše.
- kod dizel motora primenjuje se za praćenje kvaliteta sagorevanja po cilindrima.

## Piezoelectric vibration sensor

Measurement of structure-borne sound and acceleration

### Technical data

Permissible short-term vibration  $\leq 400 \text{ g}$

### Installation

Grey cast iron bolt M 8 x 25 ; Quality 8.8

Aluminium bolt M 8 x 30 ; Quality 8.8

Tightening torque (possible with lubrication)  $20 \pm 5 \text{ Nm}$

### Technical data

**0 261 231 148**

Vibration sensors 2-pole, without cable

Frequency range 3 ... 22 kHz

Sensitivity at 5 kHz  $26 \pm 8 \text{ mV/g}$

Linearity between 5...20 kHz with resonance 15 %

Main resonance frequency  $> 25 \text{ kHz}$

Self-impedance  $> 1 \text{ M}\Omega$

Capacitance range  $800 \dots 1400 \text{ pF}$

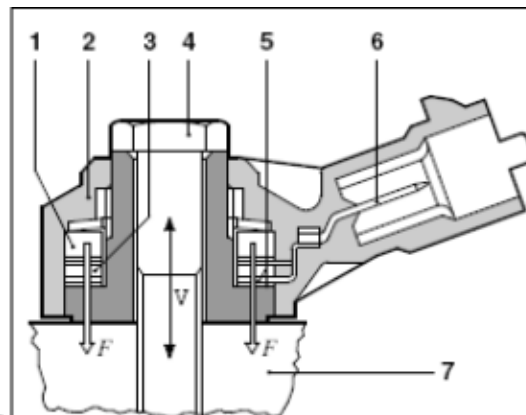
Temperature dependence of sensitivity  $\leq 0,06 \text{ mV/g} \cdot \text{K}$

Operating temperature range  $-40 \dots +150^\circ \text{C}$

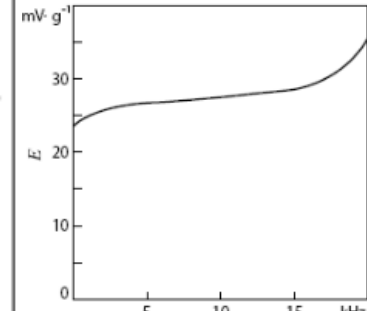
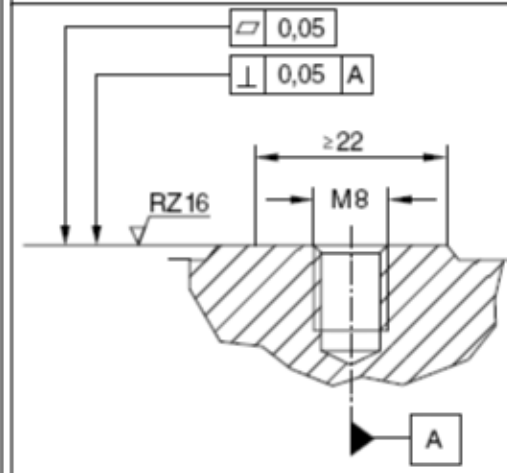
Permissible sustained vibration  $\leq 80 \text{ g}$

### Installation

Installation position any



Pin 1, 2 Measurement signal  
Pin 3 Screen, dummy



Obično se postavlja direktno na blok motora. U cilju što efektivnijeg merenja vibracija, prilikom montaže potrebno je ispuniti sledeće:

- Vijak za pričvršćenje treba zategnuti odgovarajućim momentom (obično između 18-22 Nm);
- Kontaktna površina bloka motora i navoj u bloku moraju imati potreban kvalitet obrade,
- Ne smeju se koristiti podloške.

## Površinski mikromehanički (SMM) senzori ubrzanja

1 Surface micromechanical acceleration sensors for airbag triggering (example)



Fig. 1

- 1 First packaging stage (module) in SO16 housing
- 2 Evaluator chip (ASIC)
- 3 SMM sensor element
- 4 Populated PCB
- 5 Second packaging stage (device)

## Površinski mikromehanički (SMM) senzori ubrzanja

2

Surface micromechanical acceleration sensors with capacitive pick-off

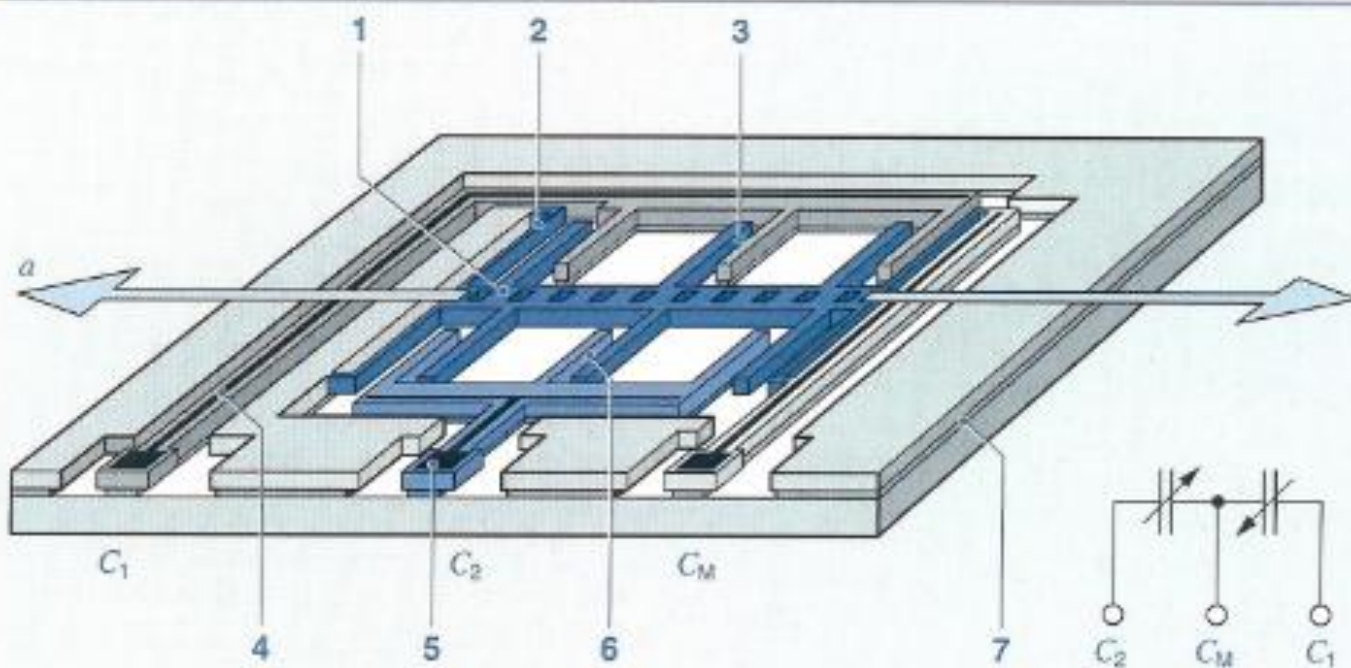
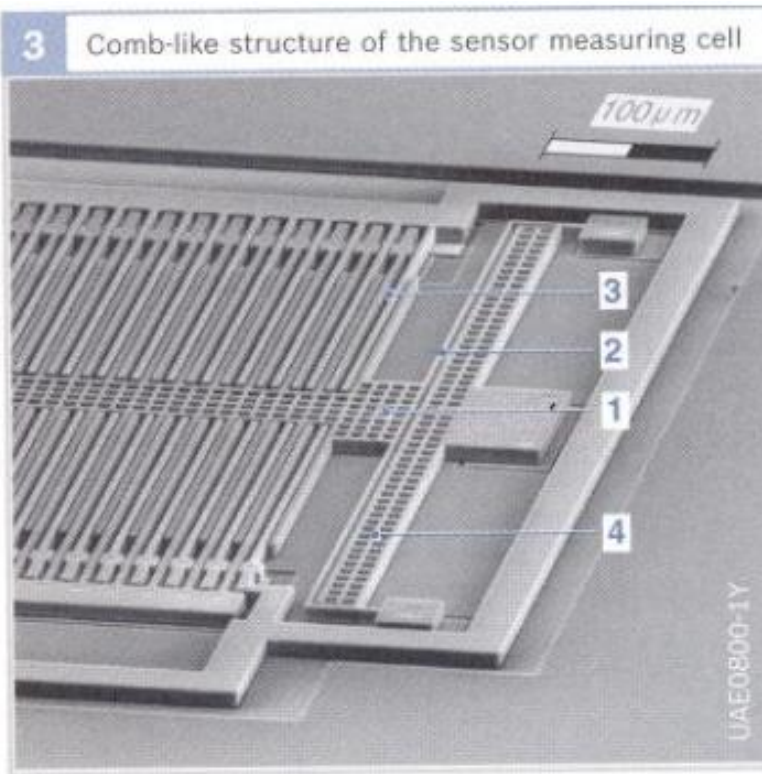


Fig. 2

- 1 Spring-mounted seismic mass with electrodes
- 2 Spring
- 3 Fixed electrodes with capacity  $C_1$
- 4 Printed Al conductor track
- 5 Bond pad
- 6 Fixed electrodes with capacity  $C_2$
- 7 Silicon oxide
- $a$  Acceleration in the sensing direction
- $C_M$  Measuring capacity

UAE0801-2Y



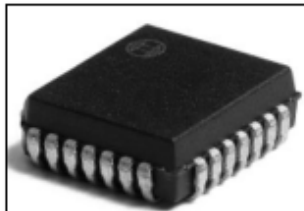
**Fig. 3**

- 1 Spring-mounted seismic mass with electrode
- 2 Spring
- 3 Fixed electrodes
- 4 Anchor areas

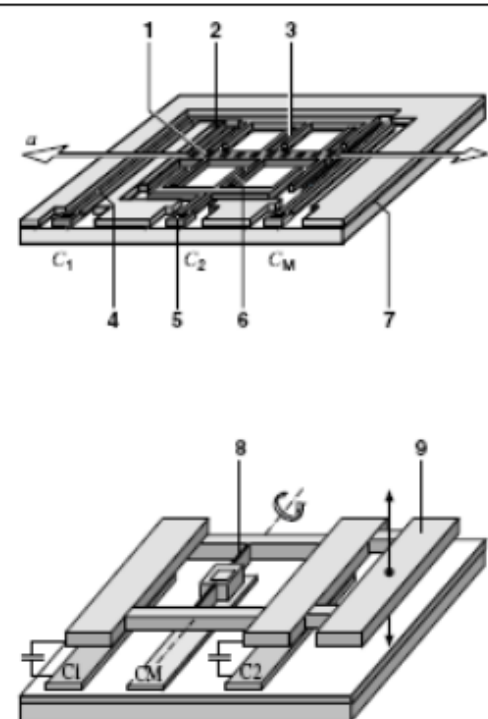
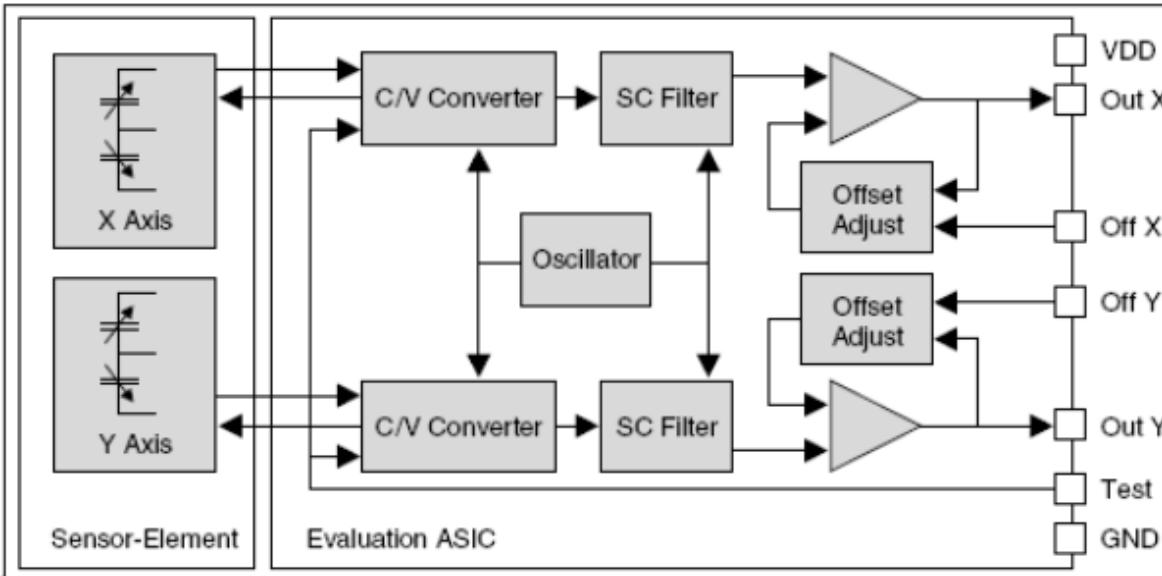
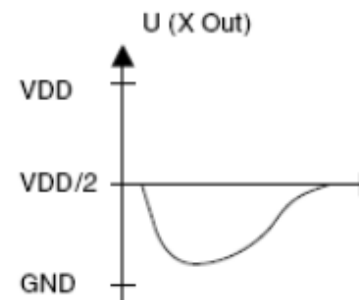
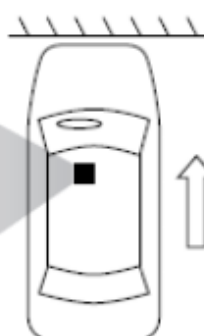
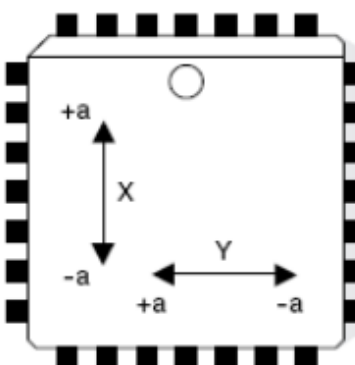
# SENZORI I AKTUATORI

## Surface micromechanical acceleration sensor

Measurement of  $\pm 35 \text{ g}$  or  $\pm 50 \text{ g}$  acceleration



$a$	Acceleration ( $g_0 = 9.81 \text{ m/s}^2$ )
$V_{DD}$	Supply voltage
$V_{off}$	Offset voltage
$S$	Sensitivity
$V_{out}$	Output voltage
$V_{cut}$	$= (V_{DD}/2) + (V_{off} \cdot S \cdot a) - (V_{DD}/5V)$



- 1 Horizontally sprung seismic element with electrodes
- 2 Spring
- 3 Fixed electrodes with capacitance  $C_1$
- 4 Al printed conductor
- 5 Bond pad
- 6 Fixed electrodes with capacitance  $C_2$
- 7 Silicon oxide
- 8 Torsion spring
- 9 Vertically sprung seismic element with electrodes. a Acceleration in sensing direction,  $C_M$  Measurement capacitance.  
 $a \sim (C_1 - C_2) / (C_1 + C_2)$

## Silicijumski mikromehanički senzori ubrzanja

1

Bulk silicon acceleration sensor with capacitive pick-off (schematic diagram)

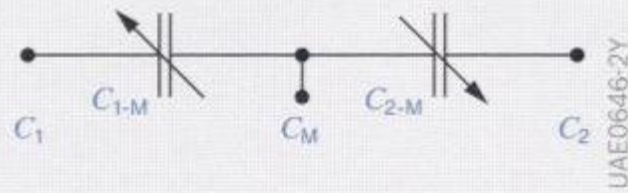
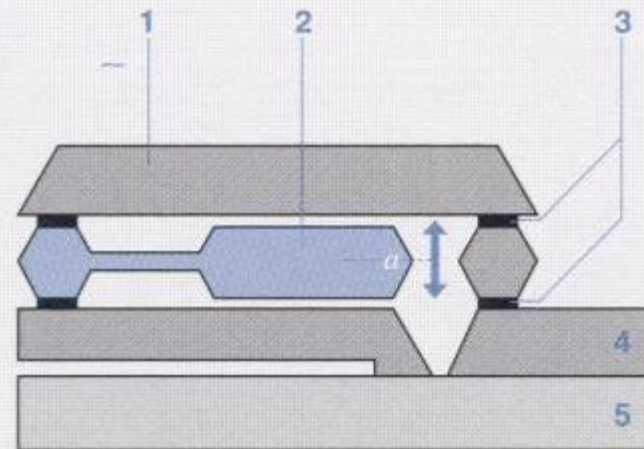


Fig. 1

- 1 Upper Si plate
- 2 Center Si plate  
(spring-held or  
seismic mass)
- 3 Si-oxide
- 4 Bottom Si plate
- 5 Glass substrate
- $a$  Acceleration in the  
sensing direction
- $C_M$  Measuring capacity

## Pijezoelektrični senzor ubrzanja

1 Spring element in a piezoelectric acceleration sensor

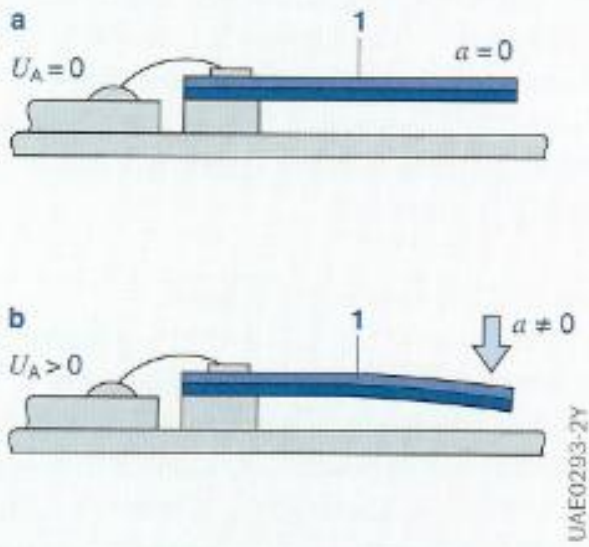


Fig. 1

- a Not under acceleration
- b Under acceleration  $a$
- 1 Piezoceramic bimorphous spring element
- $U_A$  Measurement voltage

2 Piezoelectric acceleration sensor (two channel sensor for PCB mounting)

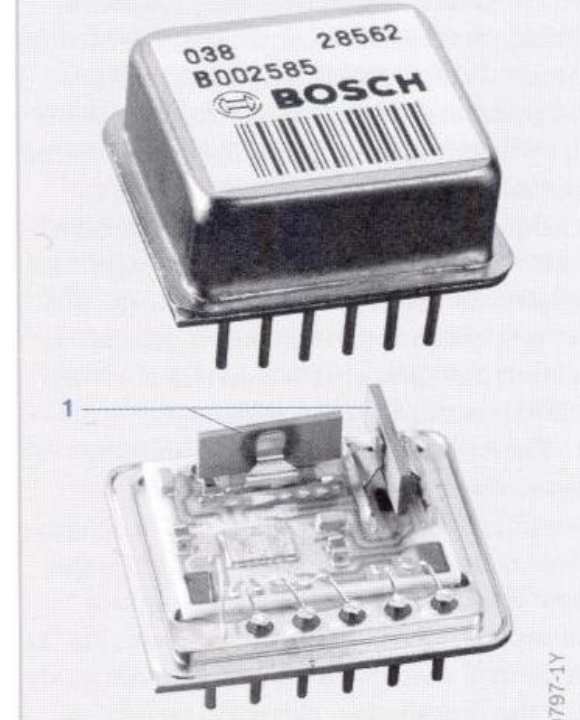


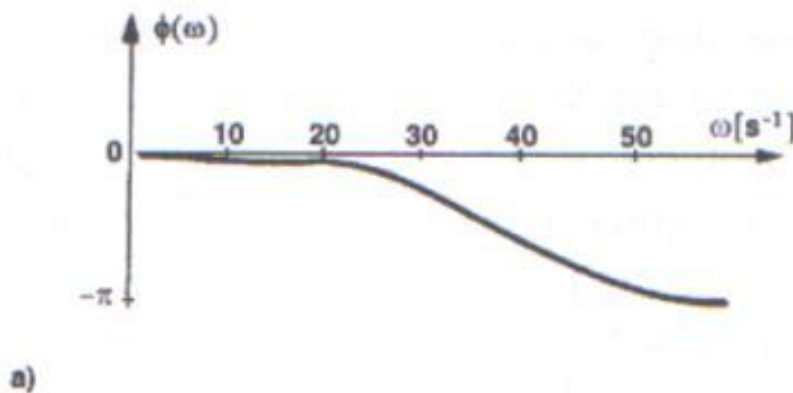
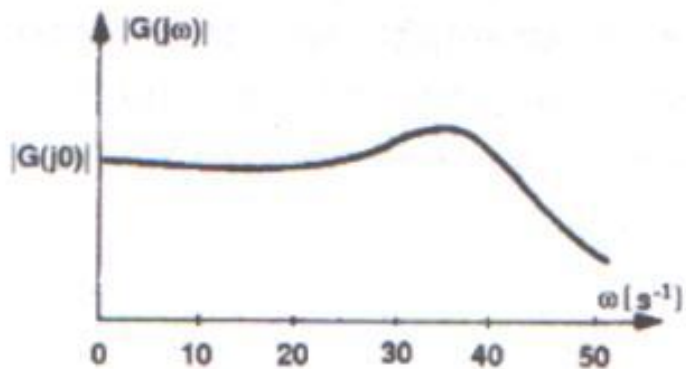
Fig. 2

- 1 Spring element

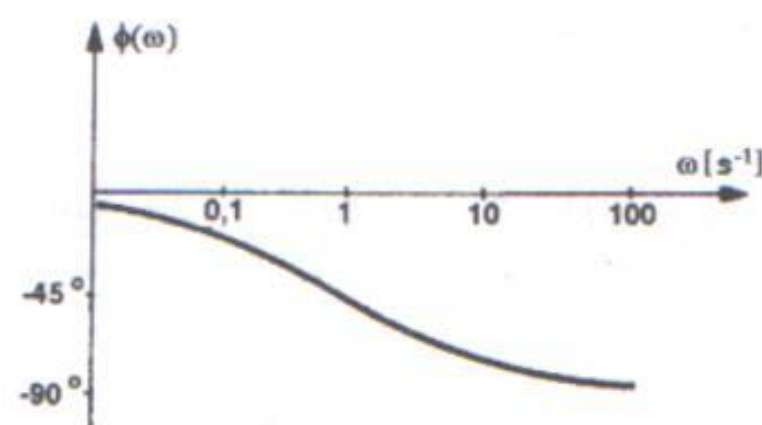
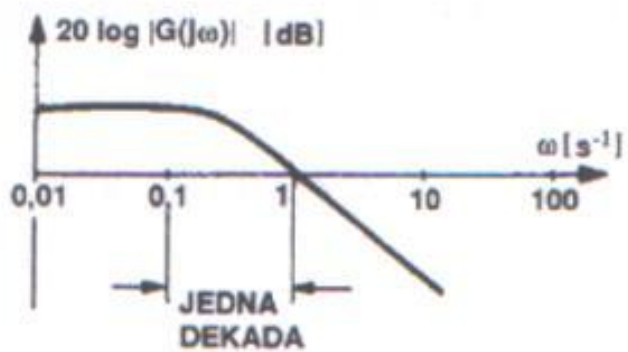
- Pijeo-oscilatorni elementi ne zahtevaju dodatnu seizmičku masu.
- Njihova masa je prikladna za lako analiziranje signala.

Koriste se kao senzori ubrzanja u sigurnosnim sistemima za pokretanje sigurnosnog pojasa, vazdušnim jastucima i sistemima za sprečavanje prevrtanja.

## Динамичке карактеристике у фрквенцијској области:



a)



b)

Slika 8.12. Frekventne karakteristike senzora: a) sa linearnom razmerom na apscisi, b) Bodeov prikaz

## ЕЛЕМЕНТИ АУТОМАТСКИХ СИСТЕМА

